



PERÚ

Ministerio  
de la Producción



IMARPE  
INSTITUTO DEL MAR DEL PERÚ

# BOLETÍN SEMANAL OCEANOGRÁFICO Y BIOLÓGICO-PESQUERO

Año 7, N°22

Semana 22: 27/05 - 02/06/2022

## DIAGNÓSTICO

El enfriamiento anómalo de la capa superficial en la banda ecuatorial se mantuvo respecto a la semana anterior, exhibiendo la persistencia de anomalías de moderadas a intensas al este de los 100°W. La máxima anomalía negativa (-3,0 °C) ocurrió frente a Salinas (Ecuador). El calentamiento anómalo frente a Ecuador y Perú disminuyó de manera considerable, aunque persistió un núcleo puntual de +1,2 °C a más de 180 m.n. de la Bahía de Caráquez (Ecuador) y de +0,7 °C centrado frente a Punta Sal (Figura 1).

En la franja costera de los 100 km adyacentes al litoral peruano, la temperatura superficial del mar (TSM) osciló entre 25,6 °C (Caleta Cruz) y 14,0 °C (San Juan de Marcona), siendo característica la presencia de núcleos menores de 15 °C entre Pisco y Quilca. Otras localidades que destacaron por sus bajas temperaturas fueron las zonas entre Chicama y Paramonga, con presencia de núcleos con TSM menor de 17,0 °C frente a Paita y Punta Falsa. La banda de aguas con TSM menores a 20 °C se extendió hacia el oeste especialmente de Callao al sur. En sectores oceánicos, las aguas mayores de 25 °C continuaron replegándose hacia el oeste y se localizaron por fuera de los 90 °W (Figura 2 a).

El enfriamiento anómalo aumentó su cobertura al norte de Talara, mientras que hacia el sur se debilitó ligeramente, generando un predominio de anomalías negativas frente a la costa peruana, con valores máximos de -3,2 °C (Paita), -3,8 °C (Chicama) y -4,0 °C (Chimbote). Por fuera de los 100 km se mantuvo el núcleo frío entre Punta Falsa y Huanchaco, con una anomalía de hasta -3,7 °C frente a Chicama (Figura 1). De acuerdo con el producto MERCATOR, las Aguas Tropicales Superficiales (ATS) continuaron presentes hasta Cabo Blanco, mientras que las Aguas Ecuatoriales Superficiales (AES) se habrían replegado ligeramente hasta Talara, con presencia de áreas de mezcla con las Aguas Costeras Frías (ACF) en la zona costera entre Paita y Pimentel. Asimismo, las ACF predominaron de Chicama al sur, exceptuando la zona entre Casma y Callao donde ocurrieron aguas de mezcla. Las Aguas Subtropicales Superficiales (ASS) presentaron una mayor aproximación a la costa entre Chimbote y Callao y de San Juan de Marcona a Ilo (Figura 2 b). La variación semanal de la TSM (Figura 3 b) indicó enfriamiento frente a la costa norte del Perú y Ecuador en 3,5 °C, mientras que en gran parte del mar peruano hubo núcleos de enfriamiento entre 0,5 °C y 1 °C, así como de calentamiento muy leve menor a 0,5 °C.

En la franja de ~111 km adyacente a la costa entre el ecuador geográfico y 22 °S (Figura 4 a) predominaron vientos de dirección Sureste de velocidad moderada ( $VV < 6,8$  m/s) a fuertes ( $VV > 6,8$  m/s) desde Talara hasta San Juan de Marcona, escenario propio de una condición neutra; al sur de San Juan de Marcona ocurrieron vientos de intensidad débil, con anomalías en el rango negativo ( $< -1,0$  m/s). El enfriamiento anómalo, en términos generales, se debilitó esta semana frente a la costa norte y centro aunque mantuvo valores de -3 °C frente a Chimbote. La tendencia al sur de San Juan de Marcona es a la normalización (Figura 4 b). Por otro lado, la evolución de las anomalías del nivel del mar (ANM) diarias con un filtro pasa banda de 10-120 días para la zona ecuatorial entre 2 °N y 2 °S (Figura 5 a) y para la franja de 111 km adyacente al litoral peruano (Figura 5 b) indicaron que, en el sector ecuatorial, las ANM positivas aumentaron su intensidad alcanzando la costa Sudamericana con valores de hasta +4 cm (Figura 5 a), asociadas a la propagación de una onda Kelvin cálida. Del mismo modo, en la franja adyacente a la costa peruana, las ANM positivas incrementaron su cobertura, especialmente al norte de Pisco, alcanzando valores de +3 cm, en promedio, entre Huarney y Callao (Figura 5 b).

El flotador ARGO localizado a 153 m.n. (5,19°S y 83,48°W) frente a Paita, el día 30 de mayo, mostró una TSM de 20,1 °C y una ATSM de -1,7 °C así como un valor salinidad de 34,9 en la superficie. En la columna de agua se observaron anomalías negativas entre -3 °C y -1 °C, hasta los 65 m de profundidad; mientras que entre los 90 y 300 m la temperatura indicó valores de acuerdo a su estacionalidad. La salinidad y temperatura indicaron la presencia de ACF sobre los 15 m de profundidad (Figura 6 a-c).

## PERSPECTIVAS A CORTO PLAZO

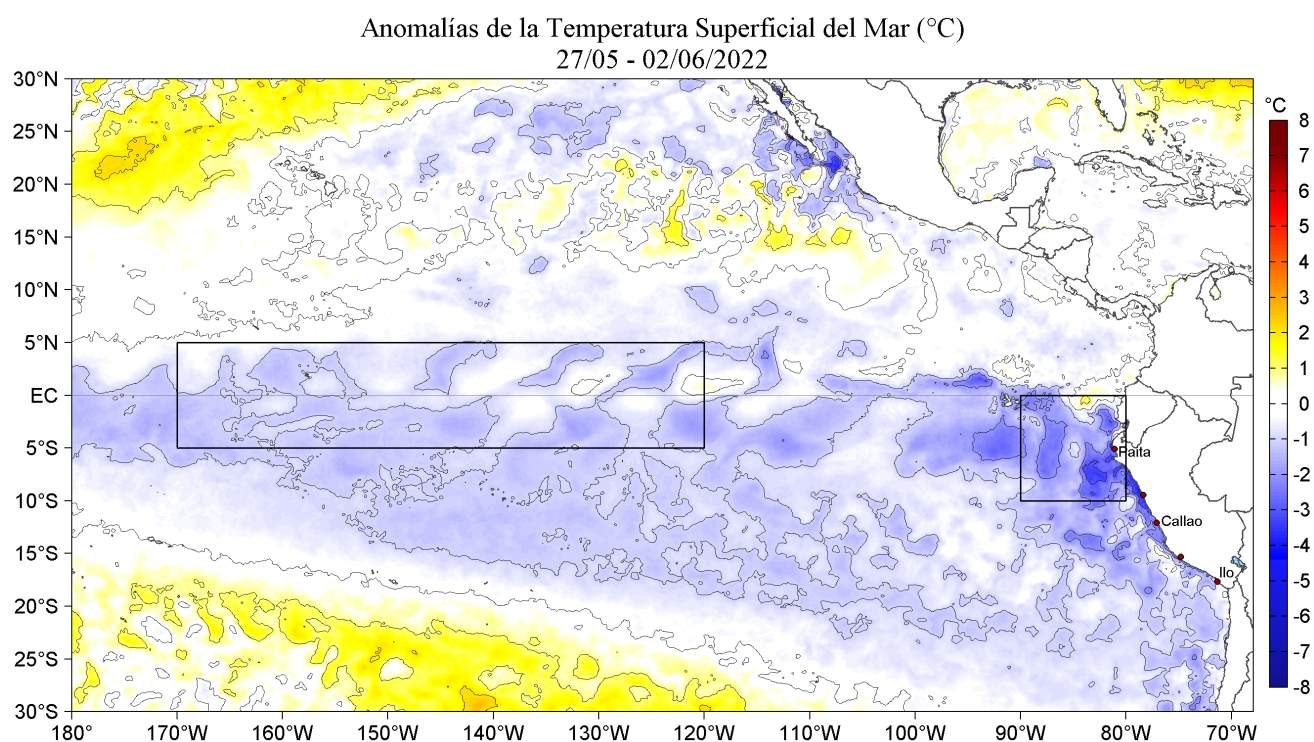
Según el pronóstico del Modelo Atmosférico del Sistema de Pronóstico Global (GFS, por sus siglas en inglés) de NOAA/NCEP ([https://pae-paha.pacioos.hawaii.edu/erddap/griddap/ncep\\_global.html](https://pae-paha.pacioos.hawaii.edu/erddap/griddap/ncep_global.html)) frente y a lo largo de la zona costera peruana, dentro de los 40 km, predominarían vientos moderados a débiles hasta el 04 de junio, desde Tumbes hasta Tacna, intensificándose durante los días 05 y 06 de junio, volviendo a registrar intensidad moderada a partir del día 07 de junio.

De acuerdo con el pronóstico de Mercator Océan para el periodo del 03 al 11 de junio de 2022, se espera que las aguas costeras con valores de TSM menor a 19°C mantengan su cobertura espacial durante la siguiente semana. Asimismo, se espera que el enfriamiento anómalo del mar persista en la zona costera y oceánica frente a Perú. ([http://www.imarpe.gob.pe/imarpe/index2.php?id\\_seccion=I0178040300000000000000](http://www.imarpe.gob.pe/imarpe/index2.php?id_seccion=I0178040300000000000000))

La última simulación del modelo de ondas Kelvin ecuatoriales implementado en el IMARPE, forzado con anomalías del esfuerzo del viento ecuatorial superficial obtenidos del NCEP al 31.05.2022, indica que la onda **Kelvin fría (modo 1)**, mencionada en el BS OBP N° 17-2022, llegará al extremo del Pacífico ecuatorial oriental en junio. Las ondas **Kelvin cálidas (modo 1 y modo 2)**, generadas por la reflexión de ondas Rossby cálidas en el Pacífico ecuatorial occidental en mayo, podrían llegar al extremo del Pacífico ecuatorial oriental entre **junio y julio (modo 1)** y en **setiembre (modo 2)**. ([http://www.imarpe.gob.pe/imarpe/index2.php?id\\_seccion=I0178040300000000000000](http://www.imarpe.gob.pe/imarpe/index2.php?id_seccion=I0178040300000000000000))

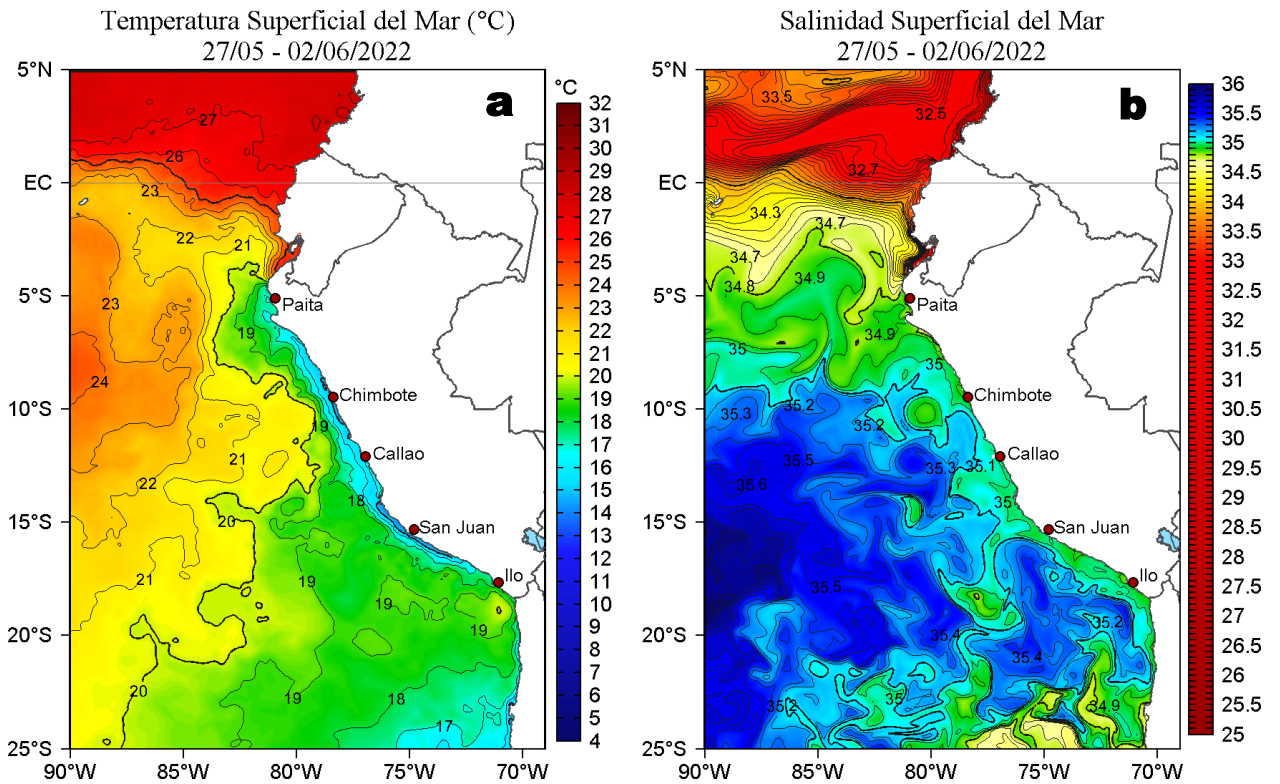
Servicio de Información Oceanográfica del Fenómeno El Niño (SIO-FEN)  
DGIOCC/DGIRP, IMARPE  
Callao, Perú, 03 de junio 2022

## I. CONDICIONES DE MACROESCALA

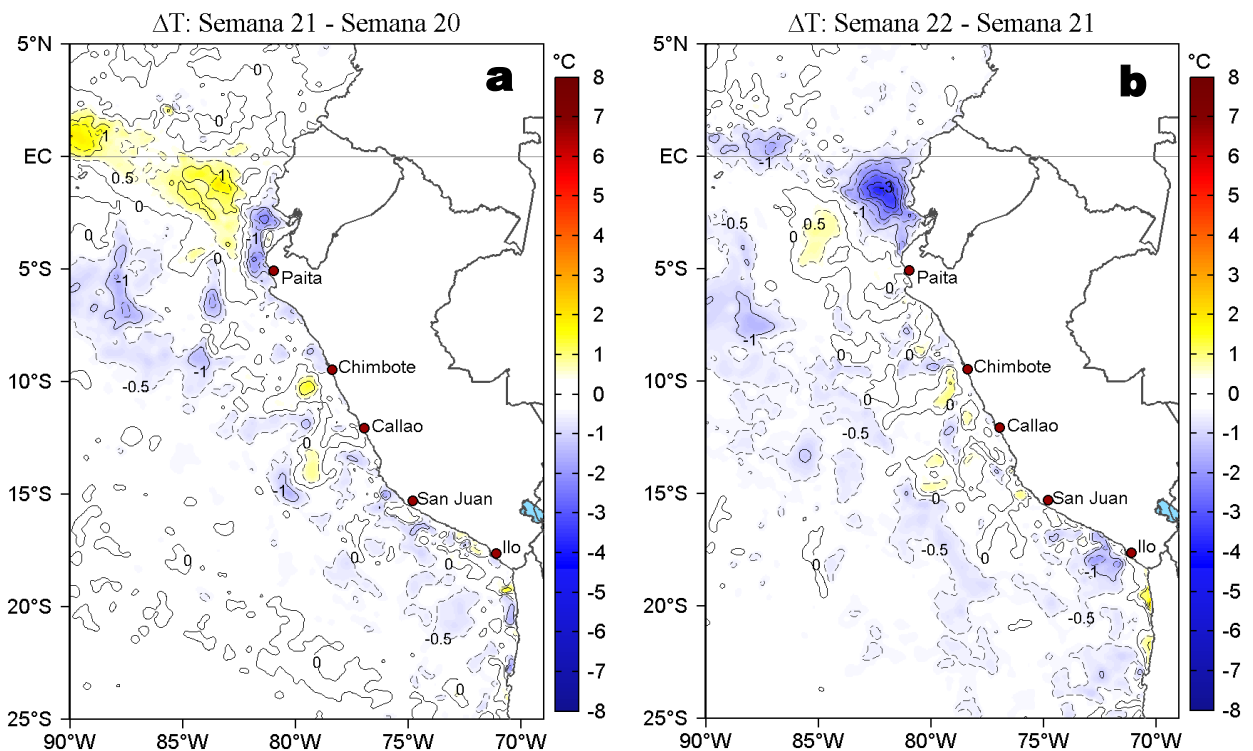


**Figura 1.** Anomalías promedio de la Temperatura superficial del mar (°C) en el océano Pacífico tropical para la semana del 27 de mayo al 02 de junio de 2022. Las regiones Niño 3.4 y Niño 1+2 en los sectores central y oriental del océano, respectivamente están delimitadas con una línea de color gris. Datos: OSTIA-UKMO-L4-GLOB-v2.0 (UK Met Office, 2012; Donlon et al, 2012) disponible en <https://podaac.jpl.nasa.gov/dataset/OSTIA-UKMO-L4-GLOB-v2.0>. Las anomalías se calcularon con respecto de la climatología para el período 2007-2016.

## II. CONDICIONES REGIONALES

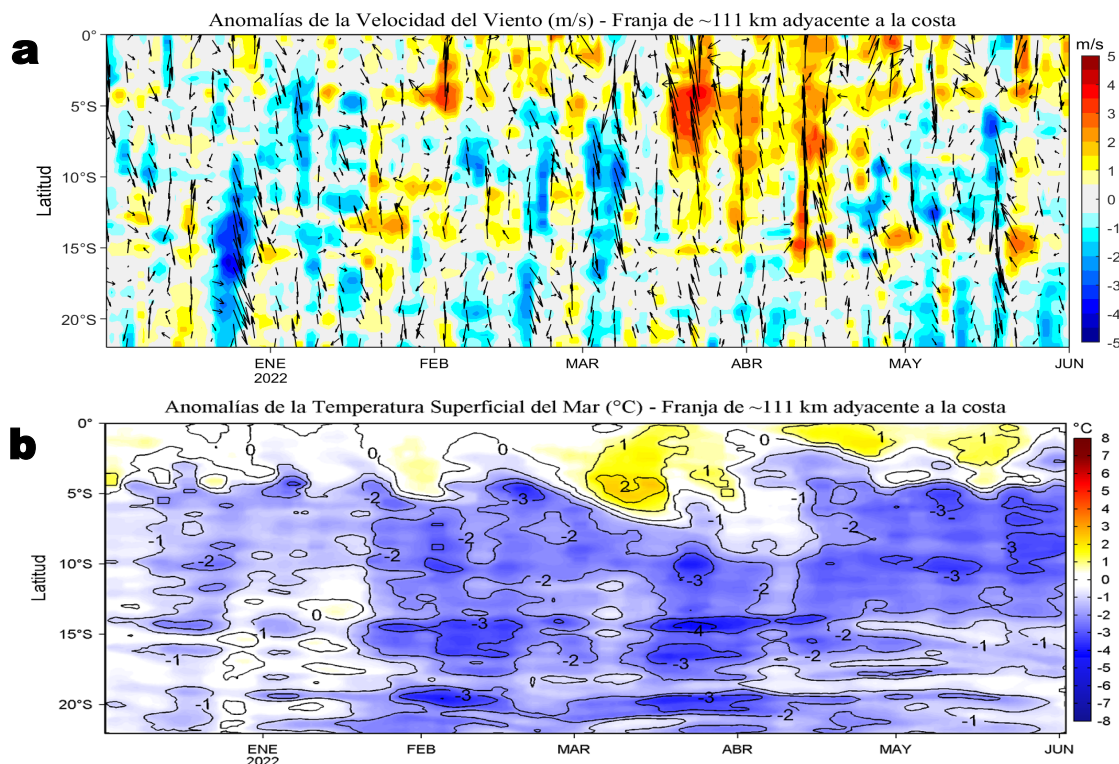


**Figura 2.** Distribución espacial promedio de: a) Temperatura (TSM, °C) y b) Salinidad superficial del mar (SSM) para la semana del 27 de mayo al 02 de junio de 2022, en el océano Pacífico oriental. Datos: OSTIA-UKMO-L4-GLOB-v2.0 (UK Met Office, 2012; Donlon et al, 2012) disponible en <https://podaac.jpl.nasa.gov/dataset/OSTIA-UKMO-L4-GLOB-v2.0> para (a) y del GLOBAL ANALYSIS FORECAST PHY 001\_024 (Lellouche, J. M. et al, 2013) disponible en [http://marine.copernicus.eu/services-portfolio/access-to-products/?option=com\\_csw&view=details&product\\_id=GLOBAL\\_ANALYSIS\\_FORECAST\\_PHY\\_001\\_024](http://marine.copernicus.eu/services-portfolio/access-to-products/?option=com_csw&view=details&product_id=GLOBAL_ANALYSIS_FORECAST_PHY_001_024) para (b). Las escalas de colores se presentan a la derecha de cada gráfico.

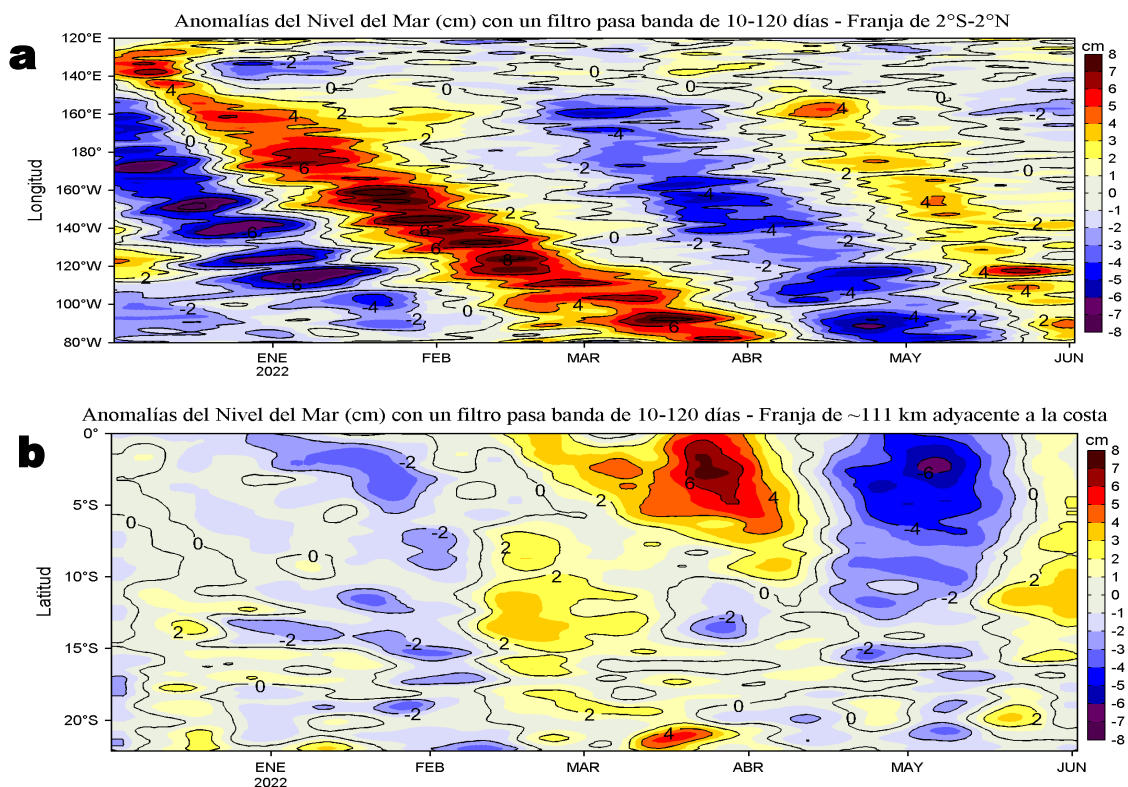


**Figura 3.** Variación semanal de la temperatura superficial del mar (°C) en el océano Pacífico tropical oriental entre: a) vigésima primera (20-26 de mayo) y vigésima (13-19 de mayo) semana de 2022 y b) vigésima segunda (27 de mayo - 02 de junio) y vigésima primera (20-26 de mayo) semana de 2022. Los mapas, que indican el grado de calentamiento o enfriamiento de una semana a otra, provienen de OSTIA-UKMO-L4-GLOB-v2.0 (UK Met Office, 2012; Donlon et al, 2012). La barra de colores a la derecha muestra la diferencia de la temperatura entre la presente y la semana previa.

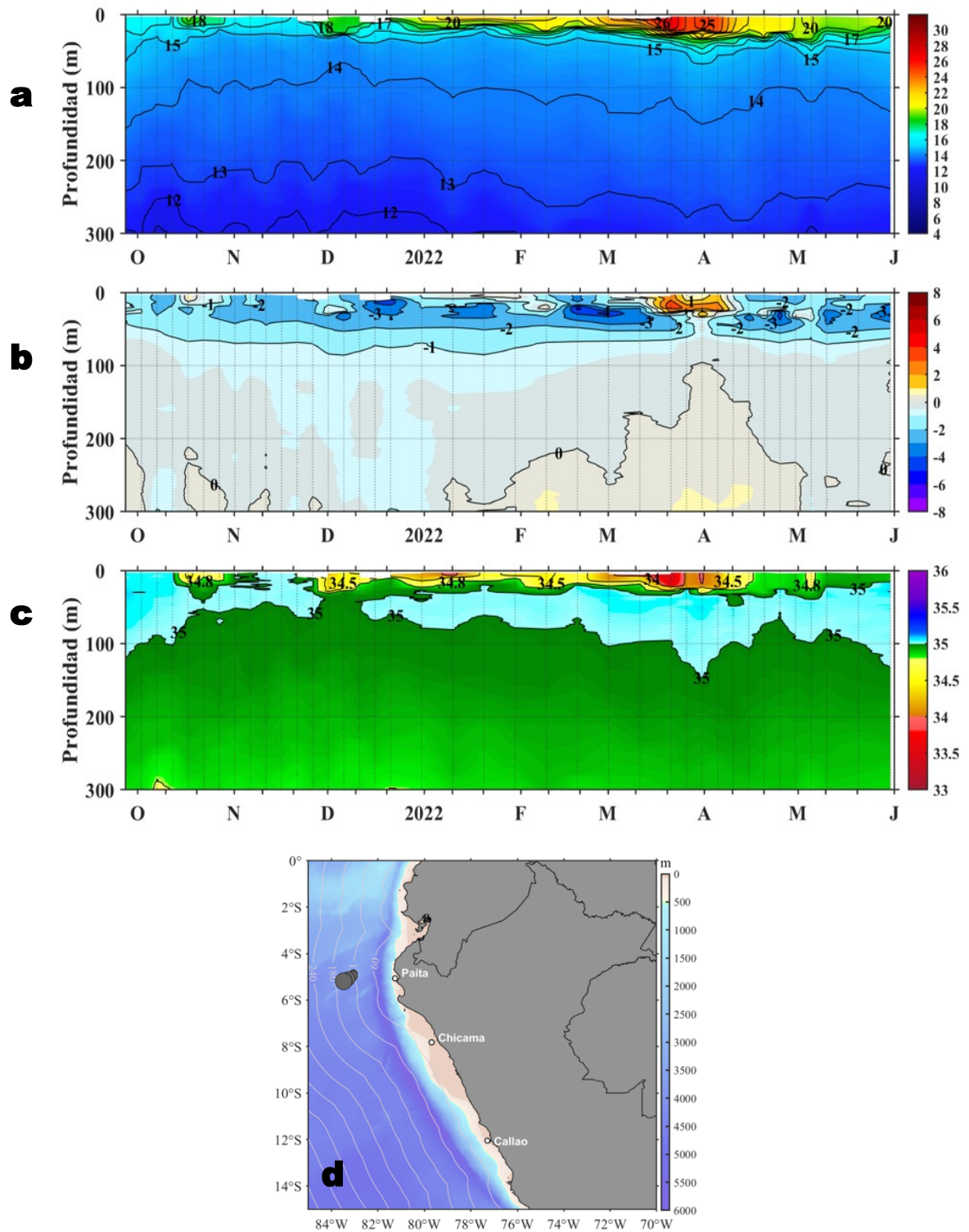
### III. CONDICIONES LOCALES



**Figura 4.** Evolución de las anomalías diarias de: a) Velocidad del viento (m/s) y b) Temperatura superficial del mar (°C) para el último semestre, actualizado al 01 y 02 de junio de 2022, respectivamente. Datos: de IFREMER/CERSAT para (a) y de OSTIA-UKMO-L4-GLOB-v2.0 para (b). Las anomalías fueron calculadas para una franja de 111 km adyacente a la costa entre el ecuador geográfico y 22°S según los promedios climatológicos diarios de 2000-2014 para (a) y de 2007-2016 para (b). La barra de colores a la derecha muestra la escala de las anomalías en cada caso.

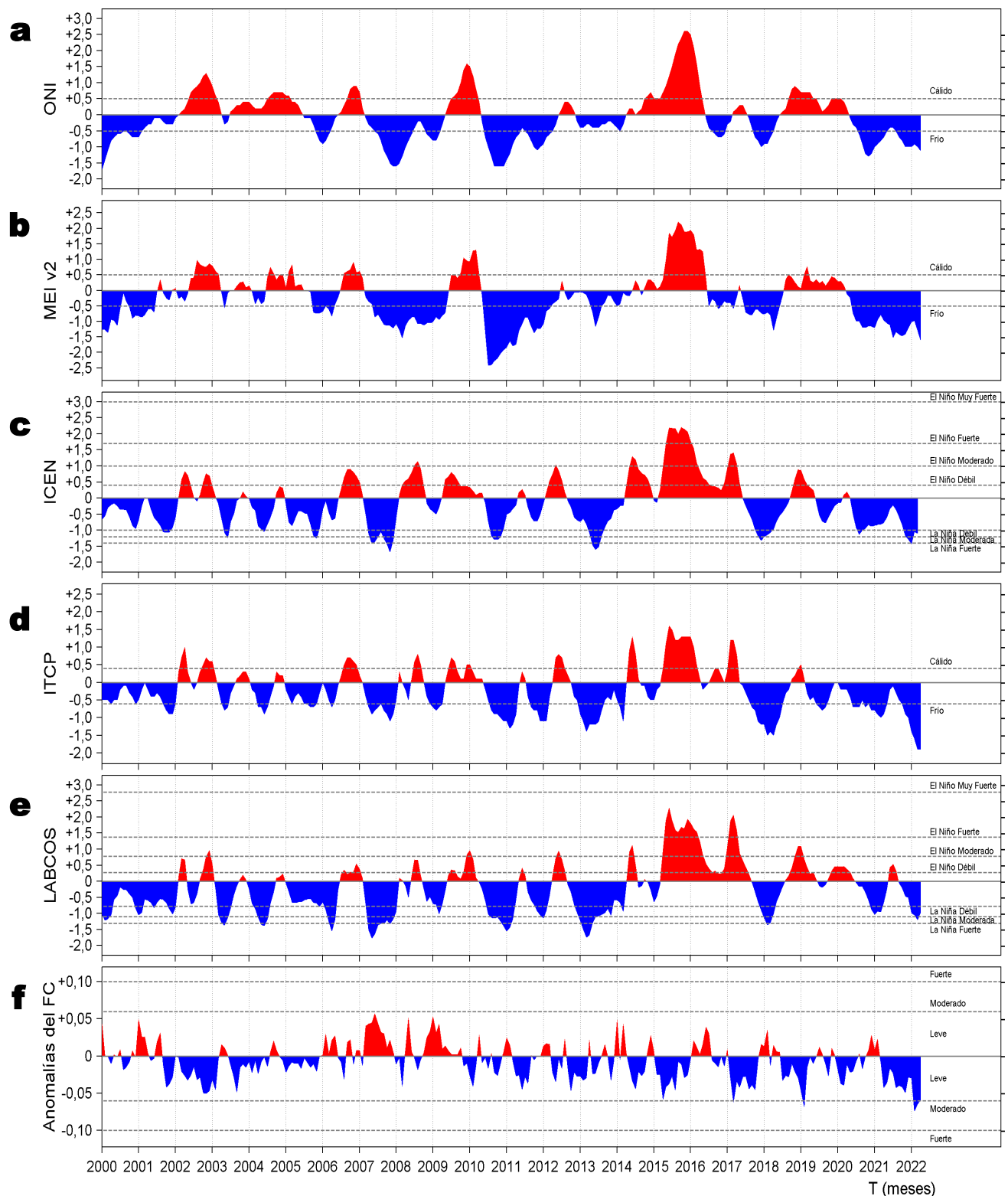


**Figura 5.** Evolución de las anomalías diarias del nivel del mar (cm) para a) la franja de 2°S-2°N en el Pacífico Ecuatorial y b) la franja de 111 km adyacente a la costa entre el ecuador geográfico y 22°S en el último semestre, actualizado al 02 de junio de 2022. Los datos de anomalías de nivel del mar consideran un filtro pasa banda de 10-120 días. Datos: del Servicio de Monitoreo del Ambiente Marino Copernicus (CMEMS en inglés). Climatología: 1993-2010. La barra de colores a la derecha muestra la escala de las anomalías en cada caso.



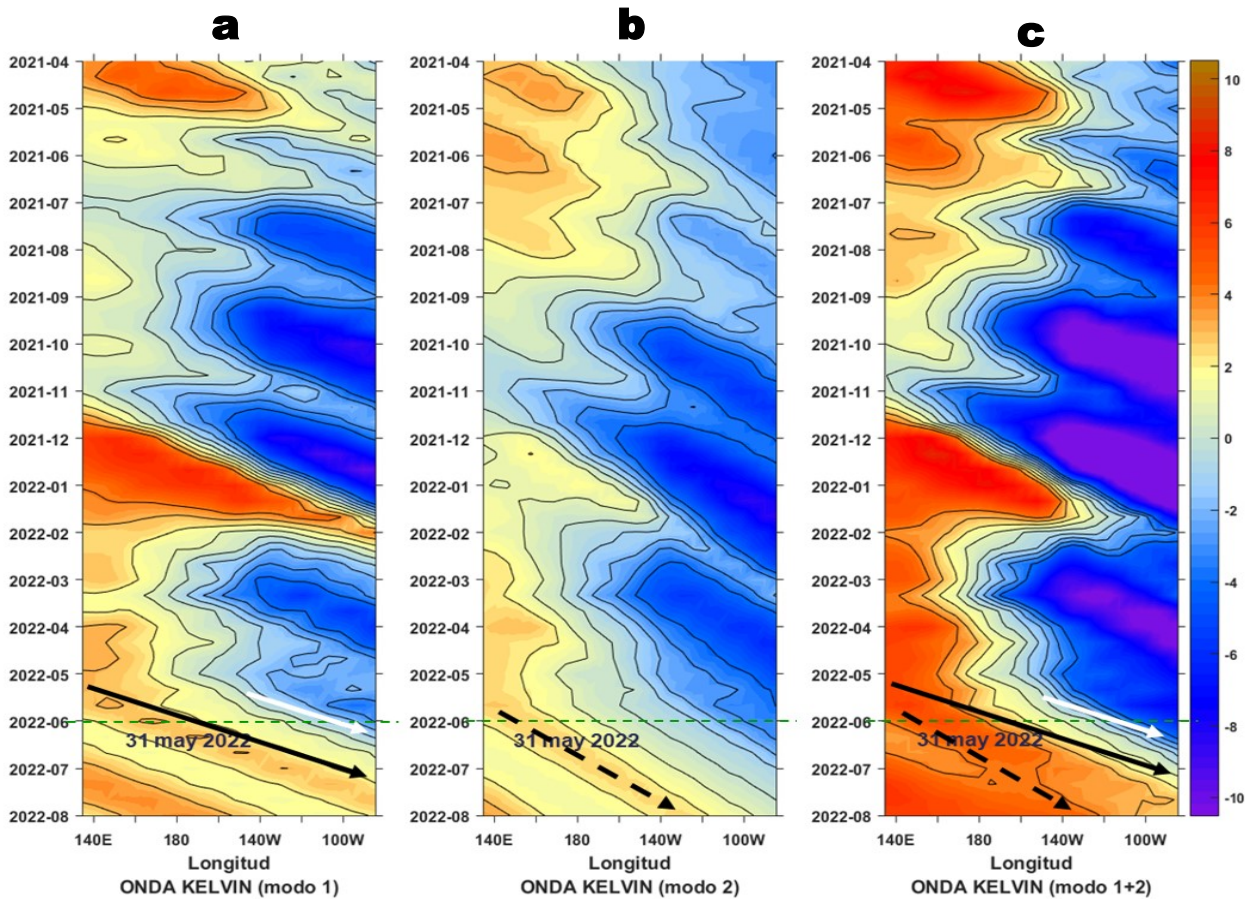
**Figura 6.** Diagrama Hovmöller de: a) Temperatura del mar (°C), b) Anomalías térmicas (°C) y c) Salinidad del mar, registradas por el perfilador ARGO No. 6903002 localizado a 153 m. n. (5,19°S, 83,48°W) de Paita el día 30 de mayo de 2022, respectivamente. Las anomalías de la temperatura del agua se calcularon de acuerdo a Domínguez et al (2017). Los puntos en la columna de agua indican los días en que el perfilador registró información. La Figura 6 d muestra la ubicación de los perfiladores. Datos: ARGO.

## IV. ÍNDICES CLIMÁTICOS Y BIOLÓGICO-PESQUERO



**Figura 7.** Series de tiempo de: a) Índice Niño Oceánico (ONI; Huang et al., 2017), b) Índice Multivariado de ENOS (MEI v2; Wolter y Timlin (1993, 1998 y 2011) y Kobayashi et al., 2015), c) Índice Costero El Niño (ICEN; Takahashi et al., 2014), d) Índice Térmico Costero Peruano (ITCP; Quispe et al., 2016), e) Índice LABCOS (Quispe y Vásquez, 2015) y f) Factor de condición de la anchoveta peruana (Fc; Perea et al., 2015) del año 2000 al 2022.

## V. PERSPECTIVAS



**Figura 8.** Diagramas Hovmöller longitudud-tiempo de las Ondas Kelvin Ecuatoriales en el Océano Pacífico Ecuatorial entre 130°E y 95°W forzado con anomalías del esfuerzo del viento (N/m<sup>2</sup>) del NCEP (Kalnay et al. 1996) de acuerdo con la metodología de Illig et al. (2004) y Dewitte et al. (2002): a) Modo 1, b) Modo 2 y c) Modos 1+2. La línea discontinua horizontal de color verde indica el inicio del pronóstico con anomalías del esfuerzo del viento igual a cero. Los valores negativos corresponden a ondas Kelvin de afloramiento “frías” (flechas blancas). Datos de modelo: Laboratorio de Modelado Oceanográfico Ecosistémico y de Cambio Climático (LMOECC).

## RECONOCIMIENTOS

The Group for High Resolution Sea Surface Temperature (GHR SST) Multi-scale Ultra-high Resolution (MUR) Level 4 OSTIA Global Foundation Sea Surface Temperature Analysis (GDS version 2). Ver. 2.0 data were obtained from the NASA EOSDIS Physical Oceanography Distributed Active Archive Center (PO.DAAC) at the Jet Propulsion Laboratory, Pasadena, CA (<http://dx.doi.org/10.5067/GHGM-4FJ01>).

IFREMER/CERSAT. 2005. ERS-1 Level 3 Gridded Mean Wind Fields (IFREMER). Ver.1.PO.DAAC, CA, USA (<ftp://anonymous@ftp.ifremer.fr/ifremer/cersat/products/gridded/mwf-ers1>).

The Ssalto/Duacs altimeter products were produced and distributed by the Copernicus Marine and Environment Monitoring Service (CMEMS) (<http://www.marine.copernicus.eu>).

The products from the MERCATOR OCEAN system distributed through the Marine Copernicus Service. (<http://www.marine.copernicus.eu>).

Argo data (<http://doi.org/10.17882/42182>) were collected and made freely available by the International Argo Program and the national programs that contribute to it. (<http://www.argo.ucsd.edu>, <http://argo.jcommops.org>). The Argo Program is part of the Global Ocean Observing System.

The Pacific Islands Ocean Observing System (PacIOOS) is funded through the National Oceanic and Atmospheric Administration (NOAA) as a Regional Association within the U.S. Integrated Ocean Observing System (IOOS). PacIOOS is coordinated by the University of Hawaii School of Ocean and Earth Science and Technology (SOEST).

Este boletín es una acción del Programa Presupuesto Por Resultados - PPR 068 El Niño “Reducción de Vulnerabilidad y Atención de Emergencias por Desastres” y su producto “Entidades Informadas en forma permanente y con pronósticos frente al Fenómeno El Niño”.

## REFERENCIAS

- Dewitte B., D. Gushchina, Y. du Penhoat and S. Lakeey, 2002: On the importance of subsurface variability for ENSO simulation and prediction with intermediate coupled models of the Tropical Pacific: A case study for the 1997-1998 El Niño. *Geoph. Res. Lett.*, vol. 29, no. 14, 1666, 10.1029/2001GL014452.
- Domínguez, N., C. Grados, L. Vásquez, D. Gutiérrez, A. Chaigneau. *Climatología termohalina frente a las costas del Perú. Periodo: 1981-2010. Volumen 44, Número 1, Enero-Marzo 2017. Inf Inst Mar Perú 44(1).*
- Donlon, C. J, M. Martin, J. Stark, J. Roberts-Jones, E. Fiedler, W. Wimmer, 2012. The Operational Sea Surface Temperature and Sea Ice Analysis (OSTIA) system. *Remote Sen. Env.*, 116, 140-158.
- Huang, B., Peter W. Thorne, et. al, 2017: Extended Reconstructed Sea Surface Temperature version 5 (ERSSTv5), Upgrades, validations, and intercomparisons. *J. Climate*, doi: 10.1175/JCLI-D-16-0836.1
- Illig, S., B. Dewitte, N. Ayoub, Y. du Penhoat, G. Reverdin, P. De Mey, F. Bonjean and G. S. E. Lagerloef, 2004: Interannual Long Equatorial Waves in the Tropical Atlantic from a High Resolution OGCM Experiment in 1981-2000, *Journal of Geophysical Research*, 109, C02022, doi:10.1029/2003jc001771.
- Kalnay, E., M. Kanamitsu, R. Kistler, W. Collins, D. Deaven, L. Gandin, M. Iredell, S. Saha, G. White, J. Woollen, Y. Zhu, A. Leetmaa, B. Reynolds, M. Chelliah, W. Ebisuzaki, W. Higgins, J. Janowiak, K. Mo, C. Ropelewski, J. Wang, R. Jenne, and D. Joseph, 1996: The NCEP/NCAR 40-Year Reanalysis Project. *Bull. Amer. Meteor. Soc.*, 77, 437-471.
- Kobayashi S, Ota Y, Harada Y, Ebata A, Moriya M, Onoda H, Onogi K, Kamahori H, Kobayashi C, Endo H, Miyaoka K, Takahashi K (2015) The JRA-55 reanalysis: general specifications and basic characteristics. *J Meteor Soc Jpn* 93:5-48.
- Lellouche, J.-M., Le Galloudec, O., Drévilion, M., Régnier, C., Greiner, E., Garric, G., Ferry, N., Desportes, C., Testut, C.-E., Bricaud, C., Bourdallé-Badie, R., Tranchant, B., Benkiran, M., Drillet, Y., Daudin, A., and De Nicola, C.: Evaluation of global monitoring and forecasting systems at Mercator Océan, *Ocean Sci.*, 9, 57-81, 2013.
- Perea, A., B. Buitrón, J. Mori, J. Sánchez, C. Roque, 2015. Anomalías de los Índices reproductivos de anchoveta *Engraulis ringens* en relación al ambiente. En: *Boletín Trimestral Oceanográfico*, Volumen 1, Números 1-4, pp.: 27-28.
- Quispe Ccallauri, C, J. Tam, H. Demarcq, C. Romero, D. Espinoza, A. Chamorro, J. Ramos, R. Oliveros, 2016. El Índice Térmico Costero Peruano. En: *Boletín Trimestral Oceanográfico*, Volumen 2, Número 1, pp: 7-11.
- Quispe, J. y L. Vásquez, 2015. Índice "LABCOS" para la caracterización de evento El Niño y La Niña frente a la costa del Perú, 1976-2015. En: *Boletín Trimestral Oceanográfico*, Volumen 1, Números 1-4, pp.: 14-18.
- Takahashi, K, K. Mosquera y J.Reupo, 2014. El Índice Costero El Niño (ICEN): historia y actualización. *Boletín Técnico - Vol. 1 Nro. 2, Febrero del 2014.*
- Wolter K. and M. S. Timlin, 1993. Monitoring ENSO in COADS with a seasonally adjusted principal component index. *Proceedings of the 17th Climate Diagnostics Workshop*, Norman, Oklahoma. NOAA/NMC/CAC-NSSL-Oklahoma Climate Survey-CIMMS-School of Meteorology of the University of Oklahoma, pp. 52-57.
- Wolter K. and M. S. Timlin, 1998. Measuring the strength of ENSO events - how does 1997/98 rank? *Weather* **53**, 315-324.
- Wolter K. and M. S. Timlin, 2011. El Niño/Southern Oscillation behavior since 1871 as diagnosed in an extended multivariate ENSO index (MEI. ext). *Int. J. Climatol.* **31**, 1074-1087.

El Boletín Semanal Oceanográfico y Biológico-Pesquero (BS-OBP) presenta la evolución de variables físicas en la superficie del océano y atmósfera, así como de la estructura físico-química del océano frente a Paita -lugar referente del mar peruano para la vigilancia climática asociada a El Niño-Oscilación del Sur- con el fin de comprender los efectos de la variabilidad de corto plazo en las condiciones oceanográficas del mar peruano. Esta información se sustenta en las redes observacionales in situ que administra el IMARPE y que se ha fortalecido en el marco del Programa Presupuesto Por Resultados - PPR 068 El Niño "Reducción de Vulnerabilidad y Atención de Emergencias por Desastres" y su producto "Entidades Informadas en forma permanente y con pronósticos frente al Fenómeno El Niño".

El BS-OBP y otros productos oceanográficos pretenden informar de forma oportuna y permanente sobre el estado del océano a diferentes grupos de interés y sociedad en general, contribuyendo a mejorar el conocimiento del mar peruano y coadyuvar a la gestión del riesgo de desastres del Estado Peruano.

Finalmente, se informa que el monitoreo oceanográfico rutinario frente a Paita aún no se ha restablecido por lo que la información subsuperficial considera la información de perfiladores ARGO seleccionados, actualmente disponibles frente a la costa norte-centro del Perú. Se recomienda cautela en el uso de la información de la Figura 6 debido a la naturaleza móvil de estos equipos oceanográficos.

Servicio de Información Oceanográfica del Fenómeno El Niño/SIO-FEN  
Laboratorio de Hidrofísica Marina/LHFM  
Dirección General de Investigaciones en Oceanografía y Cambio Climático/DGIOCC  
Instituto del Mar del Perú



El contenido del Boletín se puede reproducir citándolo así: Boletín Semanal Oceanográfico y Biológico-Pesquero [en línea]. Callao, Instituto del Mar del Perú. Año 7, N° 22, 03 de junio de 2022. [http://www.imarpe.pe/imarpe/index.php?id\\_seccion=101780204000000000000000](http://www.imarpe.pe/imarpe/index.php?id_seccion=1017802040000000000000).

© 2022 Instituto del Mar del Perú.  
Esquina Gamarra y General Valle, Chucuito, Callao - Perú.

**Consultas:** Servicios y Productos Oceanográficos  
Laboratorio de Hidrofísica Marina/AFIOFCC/DGIOCC/IMARPE.  
Correo electrónico: [lhfm\\_productos@imarpe.gob.pe](mailto:lhfm_productos@imarpe.gob.pe);  
[lhfm\\_productos@gmail.com](mailto:lhfm_productos@gmail.com).  
Teléfono: (51 1) 208 8650 (Extensión 824).

**Suscripciones:** Complete [este formulario](#).